

Kvantumos rotor áthaladása apertúrán

Dr. Dömötör Piroska



SZE GIVK Fizika és Kémia Tanszék Szemináriuma

Győr, 2023. november 21.

Tartalom

A rotor modell

Analitikus közelítés

A szórásprobléma megoldása Green-függvénnyel

Numerikusan egzakt eredmények

Kitekintés

Bevezetés

A vizsgálandó kérdés

Belső struktúra hatása a szórásra?

A legenda

Hosszú gerendákat szállítanak a városba a Münster építéséhez.

A kocsikon keresztben fekvő faanyag nem fér át a városkapun ...

Szélesítsük a kaput?

vagy

Tanuljunk a fészeképítő verébtől?

Ulmer Spatz



Ulm városának jelképe.

A rotor modell

- Szimmetrikus 2D forgó molekula.
- Merev de irányítható belső struktúra.

Jellemzők: M , $\mathcal{M} := M \times (\kappa a)^2$.

- A tömegközéppont csak az apertúra szimmetriatengelye mentén mozoghat

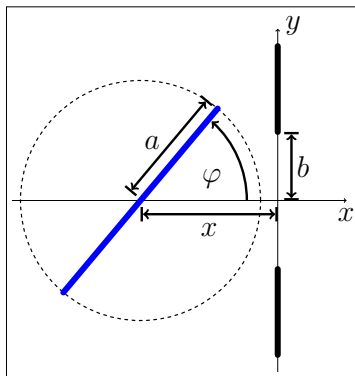
⇒ Két szabadsági fok: x és φ

$$H = \frac{p_x^2}{2M} + \frac{p_\varphi^2}{2\mathcal{M}}$$

Jellemző paraméterek:

- κ tömeg eloszlás a rotor mentén,
- $c := b/a$ apertúra méret per rotorhossz arány

A szimmetrikus rotor

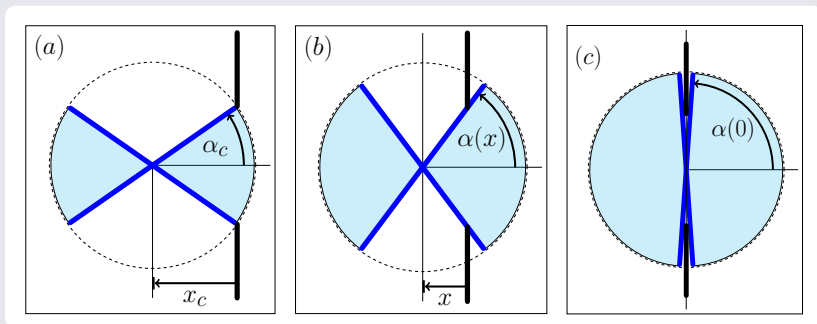


A rotor modell – a forgási és haladó szabadsági fokok összefonódása

Geometriai kényszerek

Kritikus távolság és szög: x_c és α_c

Az elérhető forgásszög függ a TKP koordinátától: $\alpha(x)$



Klasszikus (geometriai) átmeneti valószínűség:

Nem forgó rotorok egyenletes szögeloszlású sokaságát feltételezve

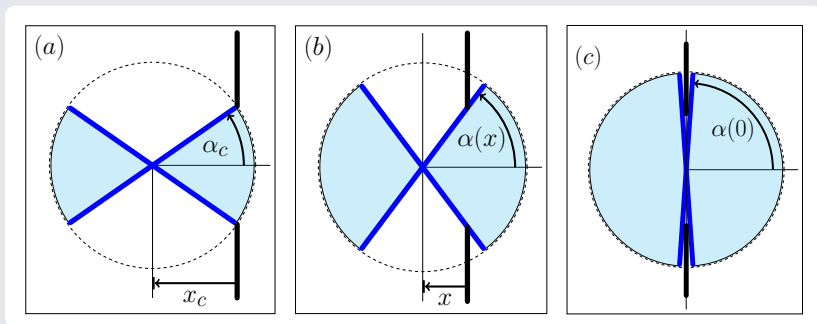
$$T^{\text{cl}} = \frac{\text{transzmissziót megengedő rotor hajlásszögek}}{\text{összes lehetséges rotor hajlásszög}}.$$

A rotor modell – a forgási és haladó szabadsági fokok összefonódása

Geometriai kényszerek

Kritikus távolság és szög: x_c és α_c

Az elérhető forgásszög függ a TKP koordinátától: $\alpha(x)$



Klasszikus (geometriai) átmeneti valószínűség:

Nem forgó rotorok egyenletes szögeloszlású sokaságát feltételezve

$$T^{\text{cl}} = \frac{2\alpha_c}{\pi} = \frac{2}{\pi} \arctan \left[\frac{c}{\sqrt{1-c^2}} \right].$$

Kvantumos szórási probléma

A rendszer $|\Psi_E\rangle$ energiasajátállapotát a

$$\hat{H} |\Psi_E\rangle = E |\Psi_E\rangle$$

egyenlet határozza meg, amely koordináta reprezentációban

$$\left[-\frac{\hbar^2}{2M} \frac{\partial^2}{\partial x^2} - \frac{\hbar^2}{2\mathcal{M}} \frac{\partial^2}{\partial \varphi^2} \right] \Psi_E(x, \varphi) = E \Psi_E(x, \varphi).$$

Dimenziótlan változókat és mennyiségeket bevezetve:

$$s := \frac{x}{\kappa a}, \quad \varepsilon := E \left(\frac{\hbar^2}{2M(\kappa a)^2} \right)^{-1}$$

Energia sajátérték egyenlet

$$-\left[\frac{\partial^2}{\partial s^2} + \frac{\partial^2}{\partial \varphi^2} \right] \Psi_\varepsilon(s, \varphi) = \varepsilon \Psi_\varepsilon(s, \varphi). \quad + \text{Peremfeltételek}$$

Kvantumos szórási probléma

Az energiasajátérték egyenlet

dimenziótlan változókkal

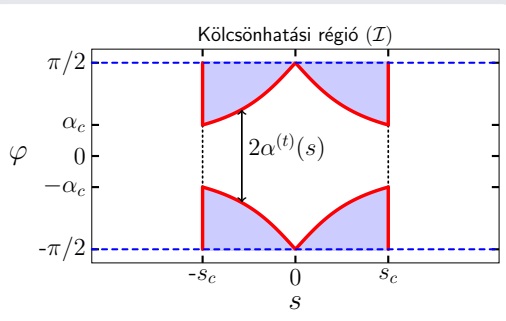
$$\hat{H} |\Psi_E\rangle = E |\Psi_E\rangle \Rightarrow - \left[\frac{\partial^2}{\partial s^2} + \frac{\partial^2}{\partial \varphi^2} \right] \Psi_\varepsilon(s, \varphi) = \varepsilon \Psi_\varepsilon(s, \varphi).$$

+ Peremfeltételek

A $-s_c \leq s \leq s_c$ kölcsönhatási régióban a hullámfüggvénynek el kell tűnnie a geometriailag megengedett régió határán és azon kívül.

(Lásd piros vonal)

$$\alpha(s) := \arctan \frac{c}{\kappa|s|}$$



A translációs és a rotációs szabadsági fokok a peremfeltételek miatt összefonódnak.

Analitikus közelítés

A kvantummechanikai állapot a kölcsönhatási régióban

Ansatz

$$\Psi_\varepsilon(s, \varphi) = \sum_{n=1}^{\infty} \psi_n(s) \chi_n[\varphi, \alpha(s)],$$

A forgást leíró $\chi_n[\varphi, \alpha(s)]$ dobozba zárt részecske hullámfüggvények követik a doboz méretének $\alpha(s)$ -sel jellemzett változását:

$$\chi_n[\varphi, \alpha(s)] := \frac{1}{\sqrt{\alpha(s)}} \sin \left[\frac{n\pi(\varphi + \alpha(s))}{2\alpha(s)} \right] \quad (n = 1, 2, \dots)$$

Effektív egydimenziós egyenlet a haladó módusokra

Az $\alpha(s)$ deriváltjait elhagyjuk \Rightarrow a translációs módusok szétcsatolódnak.

$$\left[\frac{d^2}{ds^2} + \varepsilon - n^2 v(s) \right] \psi_n(s) = 0, \quad n = 1, 2, \dots$$

Ahol $v(s)$ az $\alpha(s)$ -től függő effektív potenciál.

Analitikus közelítés

Effektív potenciál az áthaladó részecskékre

$$v(s) := \left(\frac{\pi}{2}\right)^2 [\alpha(s)]^{-2} = \left(\frac{\pi}{2}\right)^2 \left[\arctan\left(\frac{c}{\kappa|s|}\right) \right]^{-2}.$$

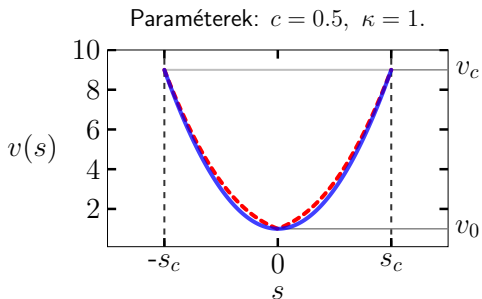
Illesztett fiktív oszcillátor potenciál

Az arctan függvényt lineárisan közelítve:

$$v(s) \approx \left(\frac{\pi}{2}\right)^2 \left(\frac{\kappa}{c}\right)^2 s^2.$$

A másodfokú kifejezést illesztve:

$$v_{\text{osc}}(s) = v_0 + \frac{1}{2} \underbrace{\left[\frac{2(v_c - v_0)}{s_c^2} \right]}_{\omega_{\text{osc}}^2} s^2$$



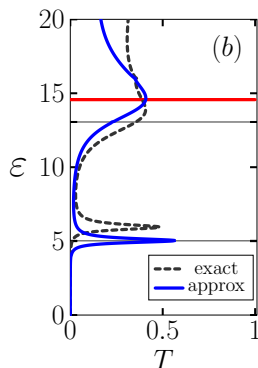
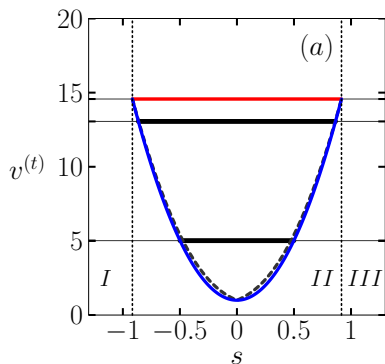
$v^{(t)}(s)$ effektív potenciál (szaggatott piros)

$v_{\text{osc}}(s)$ oszcillátor potenciál (folytonos kék)

Analitikus közelítés

Transzmisszió a bejövő hullám energiájának függvényében

Nem forgó részecskék esetén



($c = 0.4$)
($\kappa = 1$)

A fiktív oszcillátor sajátenergiái:

$$\varepsilon_n = v_0 + \left(n + \frac{1}{2} \right) \omega_{\text{osc}}$$

A szórásprobléma megoldása Green-függvénnyel

Célunk

A szórási probléma megoldása tetszőleges bejövő hullámra.

Az analitikus eredmények ellenőrzése.

$$\mathbf{S}\text{-mátrix: } r_m = \sum_{n=-m_0}^{m_0} S_{mn}^{LL} c_n, \quad \text{és} \quad t_m = \sum_{n=-m_0}^{m_0} S_{mn}^{RL} c_n.$$

A c_m bejövő és az r_m ill. t_m kimenő amplitúdók lineáris kapcsolata.

A kölcsönhatási régiótól távol

$$\Psi_\varepsilon^L(s, \varphi) = \sum_{m=-m_0}^{m_0} [c_m e^{ik_m s} + r_m e^{-ik_m s}] \phi_m(\varphi).$$

$$\Psi_\varepsilon^R(s, \varphi) = \sum_{m=-m_0}^{m_0} [t_m e^{ik_m s}] \phi_m(\varphi).$$

A szórásprobléma megoldása Green-függvénnyel

Célunk

A szórási probléma megoldása tetszőleges bejövő hullámra.

Az analitikus eredmények ellenőrzése.

$$\mathbf{S}\text{-mátrix: } r_m = \sum_{n=-m_0}^{m_0} S_{mn}^{LL} c_n, \quad \text{és} \quad t_m = \sum_{n=-m_0}^{m_0} S_{mn}^{RL} c_n.$$

A c_m bejövő és az r_m ill. t_m kimenő amplitúdók lineáris kapcsolata.

Módszer:

Az S-mátrix meghatározása a problémához tartozó Green-függvény segítségével.

A retardált Green-függvényt definiáló egyenlet:

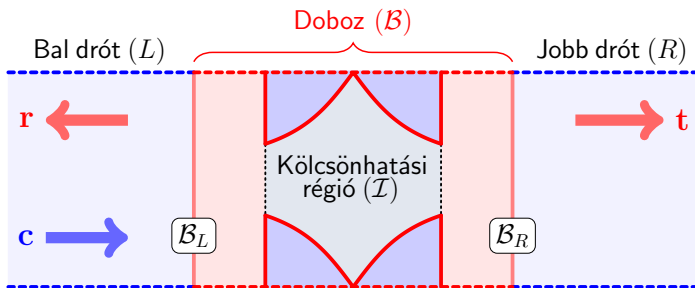
$$[(\varepsilon + i\eta)\mathbb{1} - \mathbf{H}] \mathbf{G}(\varepsilon) = \mathbb{1} \quad \text{ahol, } \eta \rightarrow 0^+$$

A megoldás diszkrét rácson egy (elvbén végtelen) mátrix invertálását jelenti.



S. Datta, *Electronic Transport in Mesoscopic Systems*, Cambridge, 1995.

A szórásprobléma megoldása Green-függvénnyel



A probléma végessé tétele

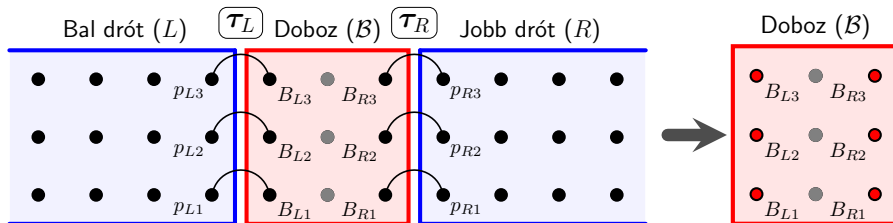
S kiszámításához elegendő a $\mathbf{G}(\varepsilon)$ ismerete a \mathcal{B} Dobozra megszorítva:

$$S_{nm}^{LR} = -\delta_{nm} + i2k_m \langle \mathcal{B}_L, \phi_n | \mathbf{G}(\varepsilon) | \mathcal{B}_R, \phi_m \rangle \quad (\text{Fisher-Lee reláció})$$

$$\langle s, \phi_n | \Psi \rangle = \sum_{m=-m_0}^{m_0} \langle s, \phi_n | \mathbf{G}(\varepsilon) | \mathcal{B}_L, \phi_m \rangle 2ik_m c_m, \quad \text{ahol } s \in \mathcal{B}.$$



A Green-függvény numerikus meghatározása diszkrét rácson



A Dobozra megszorított Green-függvény

diszkrét rácson egzakt

$$\mathbf{G}^{BB}(\varepsilon) = [\varepsilon \mathbf{1} - \mathbf{H}^{BB} - \Sigma(\varepsilon)]^{-1}.$$

A félvégtelen drótok hatását a $\Sigma(\varepsilon)$ nem-hermitikus korrekció tartalmazza.

A Jobb dróttól származó nem eltűnő korrekciók:

$$\Sigma^R[B_{Ri}, B_{Rj}] \sim g^R[p_{Ri}, p_{Rj}] \quad g^R = \text{félvégtelen drót Green-függvénye}$$

 S. Datta, *Electronic Transport in Mesoscopic Systems*, Cambridge, 1995.

 Di Ventra, M., *Electrical Transport in Nanoscale Systems*, Cambridge, 2008.

A Green-függvény numerikus meghatározása diszkrét rácson

Az operátorok "Bal drót + Doboz + Jobb drót" particionálása:

$$[(\varepsilon + i\eta)\mathbf{1} - \mathbf{H}] = \left[\begin{array}{c|c|c} (\varepsilon + i\eta)\mathbf{1} - \mathbf{H}^{LL} & (\boldsymbol{\tau}^L)^\dagger & \mathbf{0} \\ \hline \boldsymbol{\tau}^L & \varepsilon\mathbf{1} - \mathbf{H}^{BB} & \boldsymbol{\tau}^R \\ \hline \mathbf{0} & (\boldsymbol{\tau}^R)^\dagger & (\varepsilon + i\eta)\mathbf{1} - \mathbf{H}^{RR} \end{array} \right]$$

$$\mathbf{G} = \left[\begin{array}{c|c|c} \mathbf{G}^{LL} & \mathbf{G}^{LB} & \mathbf{G}^{LR} \\ \hline \mathbf{G}^{BL} & \mathbf{G}^{BB} & \mathbf{G}^{BR} \\ \hline \mathbf{G}^{RL} & \mathbf{G}^{RB} & \mathbf{G}^{RR} \end{array} \right]$$

$$[(\varepsilon + i\eta)\mathbf{1} - \mathbf{H}] \mathbf{G}(\varepsilon) = \mathbf{1} \quad \Rightarrow \quad \mathbf{G}^{BB} \text{ formálisan kifejezhető}$$

A releváns fizikai tulajdonságok és a Green-függvény

A Doboz formális sajátértékproblémája

Élettartam

$$[\mathbf{H}^{BB} + \Sigma(\varepsilon)] |\Psi_\mu^B\rangle = \varepsilon_\mu |\Psi_\mu^B\rangle$$

$$\varepsilon_\mu = \boxed{\varepsilon_{\mu,0}} - \boxed{\Delta_\mu} - \boxed{i(\gamma_\mu/2)}.$$

Az izolált probléma sajátenergiája

$\Sigma(\varepsilon)$ hermitikus része

$\Sigma(\varepsilon)$ anti-hermitikus része
⇒ véges élettartam

A rendszer energia-spektrumának jellemzése

Állapotsűrűség (DOS)

$$\mathcal{N}(\varepsilon) \equiv -\frac{1}{\pi} \text{Tr} \{ \text{Im} [\mathbf{G}^{BB}(\varepsilon)] \} = -\frac{1}{\pi} \int_B d\mathbf{r} \langle \mathbf{r} | \text{Im} [\mathbf{G}^{BB}(\varepsilon)] | \mathbf{r} \rangle.$$

$$\mathcal{N}(\varepsilon) = \frac{1}{\pi} \sum_\mu \frac{\gamma_\mu/2}{(\varepsilon - \varepsilon_{\mu,0} + \Delta_\mu)^2 + (\gamma_\mu/2)^2} \xrightarrow{\gamma_\mu \rightarrow 0} \sum_\mu \delta(\varepsilon - \varepsilon_{\mu,0} + \Delta_\mu).$$

A releváns fizikai tulajdonságok és a Green-függvény

A Doboz formális sajátértékproblémája

Élettartam

$$[\mathbf{H}^{BB} + \Sigma(\varepsilon)] |\Psi_\mu^B\rangle = \varepsilon_\mu |\Psi_\mu^B\rangle$$

$$\varepsilon_\mu = \varepsilon_{\mu,0} - \Delta_\mu - i(\gamma_\mu/2).$$

Az izolált probléma sajátenergiája

$\Sigma(\varepsilon)$ hermitikus része

$\Sigma(\varepsilon)$ anti-hermitikus része
⇒ véges élettartam

A rendszer energia-spektrumának jellemzése

Állapotsűrűség (DOS)

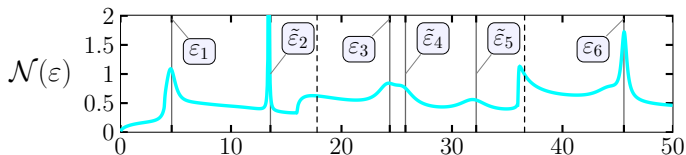
$$\mathcal{N}(\varepsilon) \equiv -\frac{1}{\pi} \text{Tr} \{ \text{Im} [\mathbf{G}^{BB}(\varepsilon)] \} = -\frac{1}{\pi} \int_{\mathcal{B}} d\mathbf{r} \langle \mathbf{r} | \text{Im} [\mathbf{G}^{BB}(\varepsilon)] | \mathbf{r} \rangle.$$

$$\mathcal{N}(\varepsilon) = \frac{1}{\pi} \sum_{\mu} \frac{\gamma_\mu/2}{(\varepsilon - \varepsilon_{\mu,0} + \Delta_\mu)^2 + (\gamma_\mu/2)^2} \xrightarrow{\gamma_\mu \rightarrow 0} \sum_{\mu} \delta(\varepsilon - \varepsilon_{\mu,0} + \Delta_\mu).$$

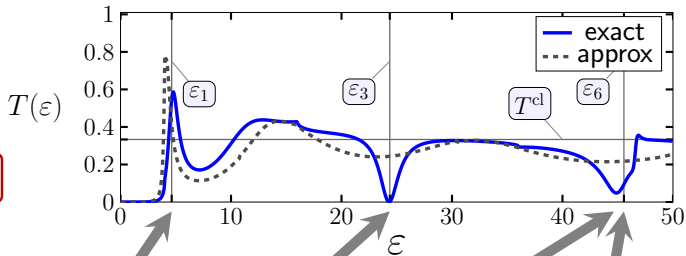
Numerikusan egzakt eredmények

A transzmisszió energiafüggése "nem forgó" bejövő hullám esetén ($c = 0.5$)

Állapotsűrűség (DOS)
Mely energiákon számíthatunk rezonanciára?

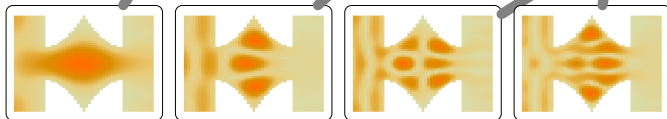


A transzmisszió energiafüggése



$$\Psi_0^{\text{even}}(s, \varphi) = e^{ik_0 s} \phi_0(\varphi)$$

A hullámfüggvény abszolút érték négyzete rezonáns energiákon.



Numerikusan egzakt eredmények

A transzmisszió energiafüggése "ellentétesen forgó" bemenet esetén ($c = 0.5$)

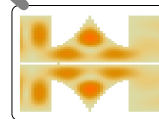
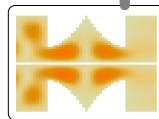
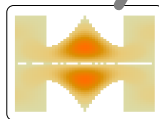
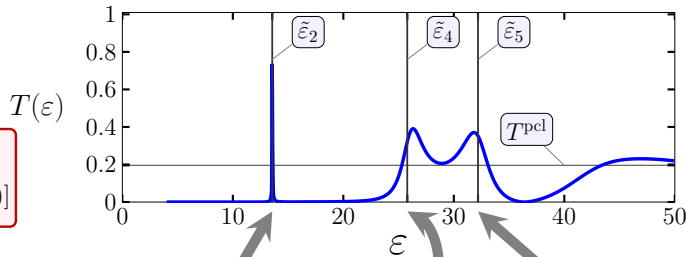
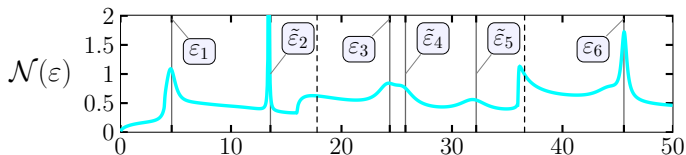
Állapotsűrűség (DOS)

Mely energiákon számíthatunk rezonanciára?

A transzmisszió energiafüggése

$$\Psi_1^{\text{odd}}(s, \varphi) = e^{ik_1 s} \frac{1}{\sqrt{2}} [\phi_1(\varphi) - \phi_{-1}(\varphi)]$$

A hullámfüggvény abszolút érték négyzete rezonáns energiákon.



Összegzés

Kétdimenziós **belső struktúrával rendelkező** részecske modell (merev forgás) résen való szóródását vizsgáltuk kétféle módszerrel.

- Analitikus közelítés segítségével (nem forgó bemenet) a kölcsönhatási régióban a translációra vonatkozó **effektív potenciálokat** vezettünk be, és meghatároztuk a transzmissziós valószínűséget.
- A transzmisszióban mutatkozó rezonanciák a rotor késleltetett áthaladását jelentik, melyek energiájára egy a geometriai paramétereiktől függő közelítő formulát is adtunk.
- Green-függvényeken alapuló módszerrel tetszőleges energián egzakt numerikus megoldást adtunk a szórási problémára, és a nyert adatok segítségével jellemeztük a folytonos energia spektrumot.
- Igazoltuk, hogy a közelítéseket tartalmazó analitikus megoldás alacsony energiákon jól egyezik az egzakt megoldással és rámutattunk az analitikus módszer határaitra is.

Összegzés

Megjelent cikkek

[New Journal of Physics > Volume 17 > January 2015](#)

Bruce W Shore *et al* 2015 *New J. Phys.* **17** 013046 doi:10.1088/1367-2630/17/1/013046

Scattering of a particle with internal structure from a single slit

OPEN ACCESS

Bruce W Shore¹, Piroska Dömötör², Emerson Sadurní³, Georg Süssmann⁴ and Wolfgang P Schleich⁵

[New Journal of Physics > Volume 17 > February 2015](#)

Piroska Dömötör *et al* 2015 *New J. Phys.* **17** 023044 doi:10.1088/1367-2630/17/2/023044

Scattering of a particle with internal structure from a single slit: exact numerical solutions

OPEN ACCESS

Piroska Dömötör^{1,5}, Péter Földi¹, Mihály G Benedict¹, Bruce W Shore² and Wolfgang P Schleich^{3,4}



B. W. Shore, P. Dömötör, E. Sadurní, G. Süssmann, and W. P. Schleich, *New Journal of Physics*, vol. 17, no. 1, p. 013046, 2015.



P. Dömötör, P. Földi, M. G. Benedict, B. W. Shore, and W. P. Schleich, *New Journal of Physics*, vol. 17, no. 2, p. 023044, 2015.

Kitekintés

Kísérleti lehetőségek

- Mechanikus rács ~ 100 nm – döntéssel csökkenthető.
- Hélium dimer mérete: transzmissziós koefficiens méréséből. $62 \overset{\circ}{\text{Å}} = 6.2$ nm. – csak rotációs alapállapotban létezik.
- Atomoptikai kísérletek, elhajlás lézer generálta rácson.
- Rb_2^{87} nempoláris molekula, $6.09 \overset{\circ}{\text{Å}}$ hosszú. – térbeli orientáció pontosan meghatározható

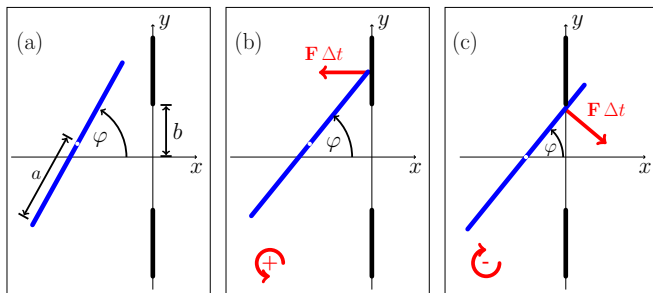


M. Deiß, B. Drews, B. Deissler, and J. H. Denschlag J

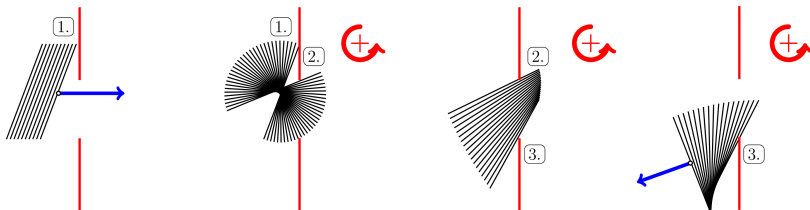
"Probing the axis alignment of an ultracold spin-polarized Rb_2 molecule"

Phys. Rev. Lett. vol. 113, p. 233004, 2014.

Vissza a klasszikus problémához

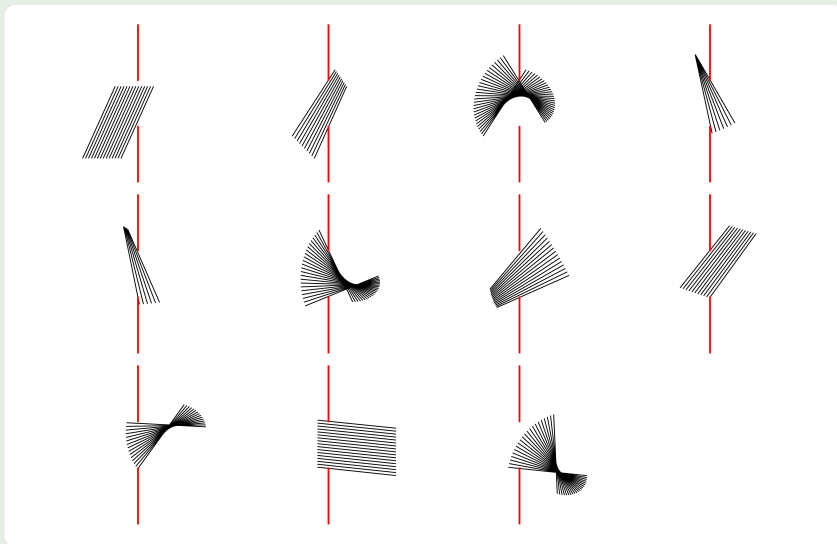


Példa: A rotor 3 ütközést követően hagyja el a kölcsönhatási régiót



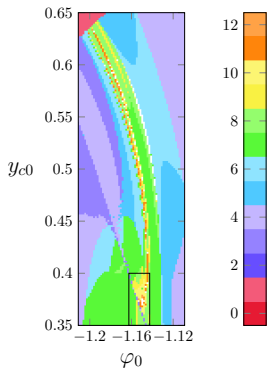
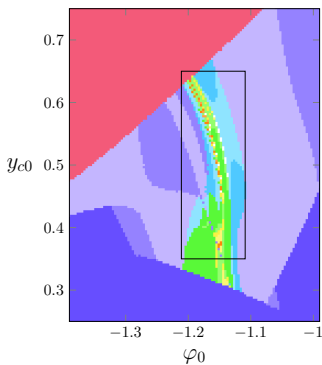
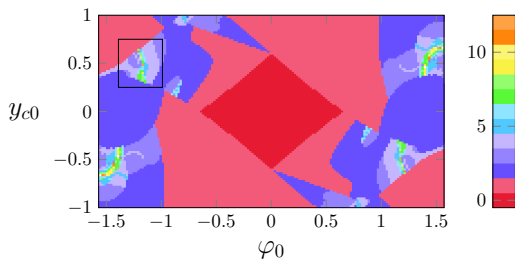
Vissza a klasszikus problémához

De lehet 3-nál sokkal több ütközés is ...



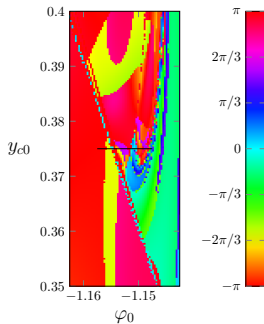
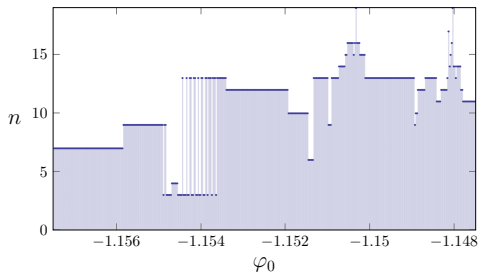
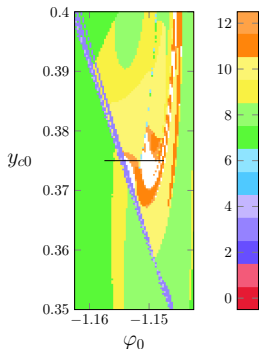
Kaotikus viselkedés jelei

Number of collisions ($b/a = 0.6$)

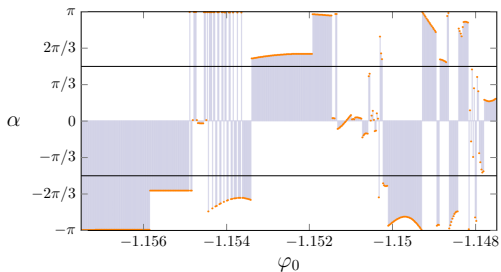


Kaotikus viselkedés jelei

Ütközések száma adott kezdeti szög esetén



Végsebesség iránya adott kezdeti szög esetén



Köszönöm a figyelmet!